# Análise da performance de sedimentadores de alta eficiência para suspensões de chorume

(Performance Analysis of High Efficiency Thickeners to Suspensions of Leachate)

### Estevão Frigini Mai

Flávia Pereira Puget Marcos Roberto Teixeira Halasz





# **O CHORUME**

 Líquido originado da decomposição de matéria orgânica, responsável por uma alta quantidade de carga potencialmente poluidora de corpos d'água.







# **RECIRCULAÇÃO**

 Aumenta a eficiência de compactação do aterro (REINHART, AL-YOUSFI, 1996);

 Promove um rápido desenvolvimento das bactérias metanogênicas → redução carga orgânica;

Reduz a demanda sobre as ETE's.



# O ATERRO DE ARACRUZ - ES



- 8 anos
- 70t/dia
- Recirculação



## Sedimentação: Tratamento primário

• Etapas básicas de uma ETE:



Tem por objetivo remover partículas coloidais, material sólido em suspensão e ajustar o pH para o posterior tratamento do efluente.

# **OBJETIVOS**

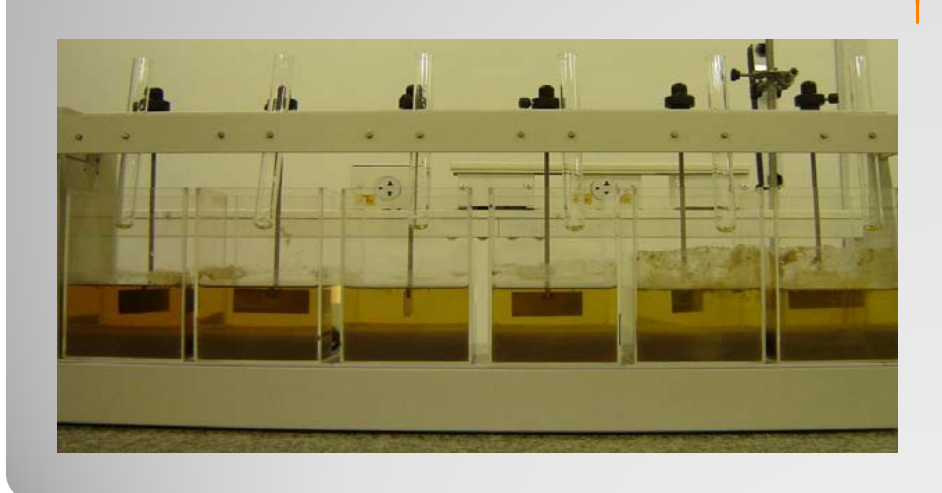
- Otimizar o processo de floculação-coagulação;
- Caracterizar os flocos experimental e matematicamente (modelos), comparando-os;
- Estudos em protótipo de sedimentador em batelada (levantamento de parâmetros inerente a modelagem);
- Estudos em protótipo de sedimentador contínuo.

# Metodologia / Resultados

# Formação dos flocos (floculação)

- Agente coagulante e concentração: FeCl<sub>3</sub>; Al<sub>2</sub>(SO<sub>4</sub>)<sub>3</sub>; Ca(OH)<sub>2</sub>; NH<sub>4</sub>OH;
- pH do chorume: 3 8;
- Agitatação.

Jar - Test



- Ag. Coagulante =  $Al_2(SO_4)_3$
- Concentração = 750 ppm
- pH = 6
- Rotação = 180 rpm por 4 min
- + 40 rpm por 2 min

# Caracterização dos flocos

- Porosidade do sistema
- Velocidade de sedimentação
- Densidade dos flocos
- Esfericidade dos flocos
- Diâmetro dos flocos

# Cálculo da porosidade

 Método de Bailey e Ollis para a estimativa do volume dos flocos e, consequentimente a porosidade do sistema.



$$\varepsilon = \frac{V_c}{V_c + V_s}$$

Valor calculado:  $\varepsilon = 0.11$ 

# CÁLCULO DA DENSIDADE

- O cálculo da densidade do fluido e do sólido foram realizados através de picnometria;
- O cálculo da densidade dos flocos será realizado utilizando o método de Bailey e Ollis, descrito por França et al. (1999);

$$\rho_{fl} = \rho_f + \frac{(\rho_s - \rho_f)}{k\rho_s}$$

Grau de floculação

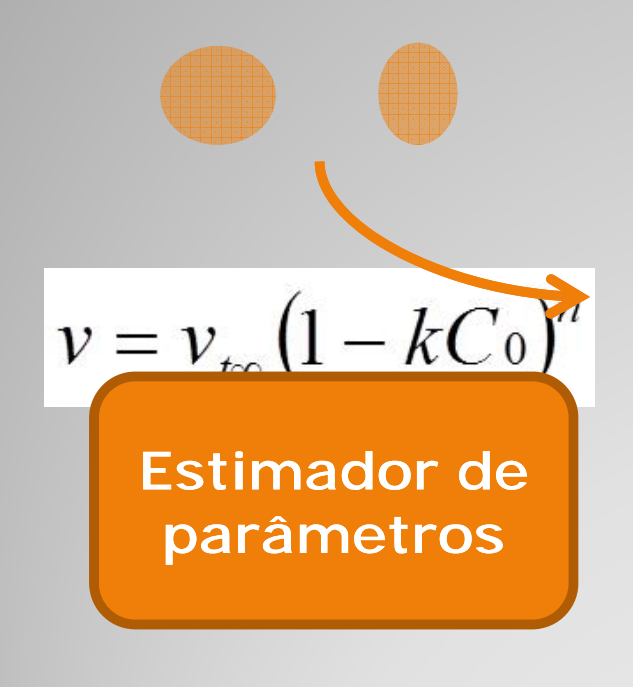
Valores obtidos:  $\rho_s = 1,67g/\text{cm}^3$ ;  $\rho_f = 1,008 \text{ g/cm}^3$  e  $\rho_{fl} = 1,05g/\text{cm}^3$ 

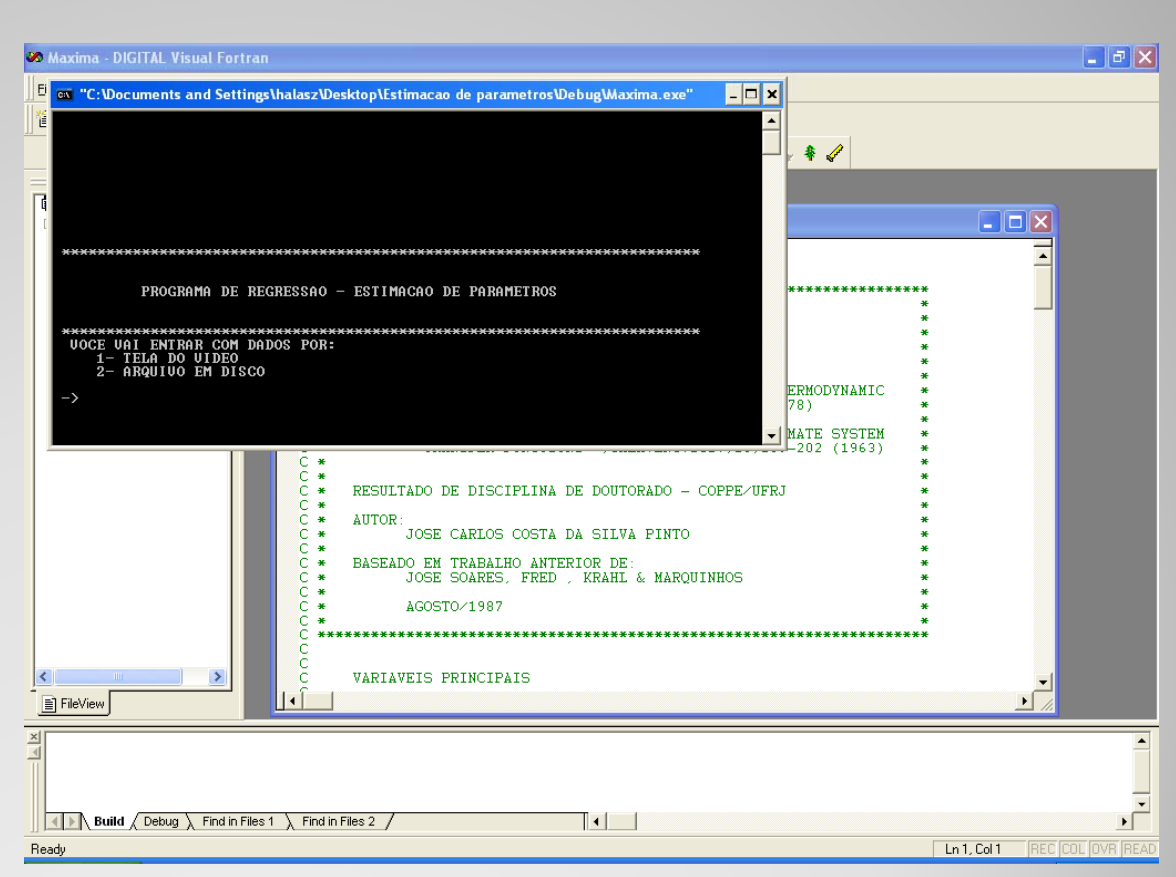
# Cálculo da velocidade de sedimentação e grau de floculação

 Teste de proveta → Concentração inicial versus Velocidade inicial de sedimentação.



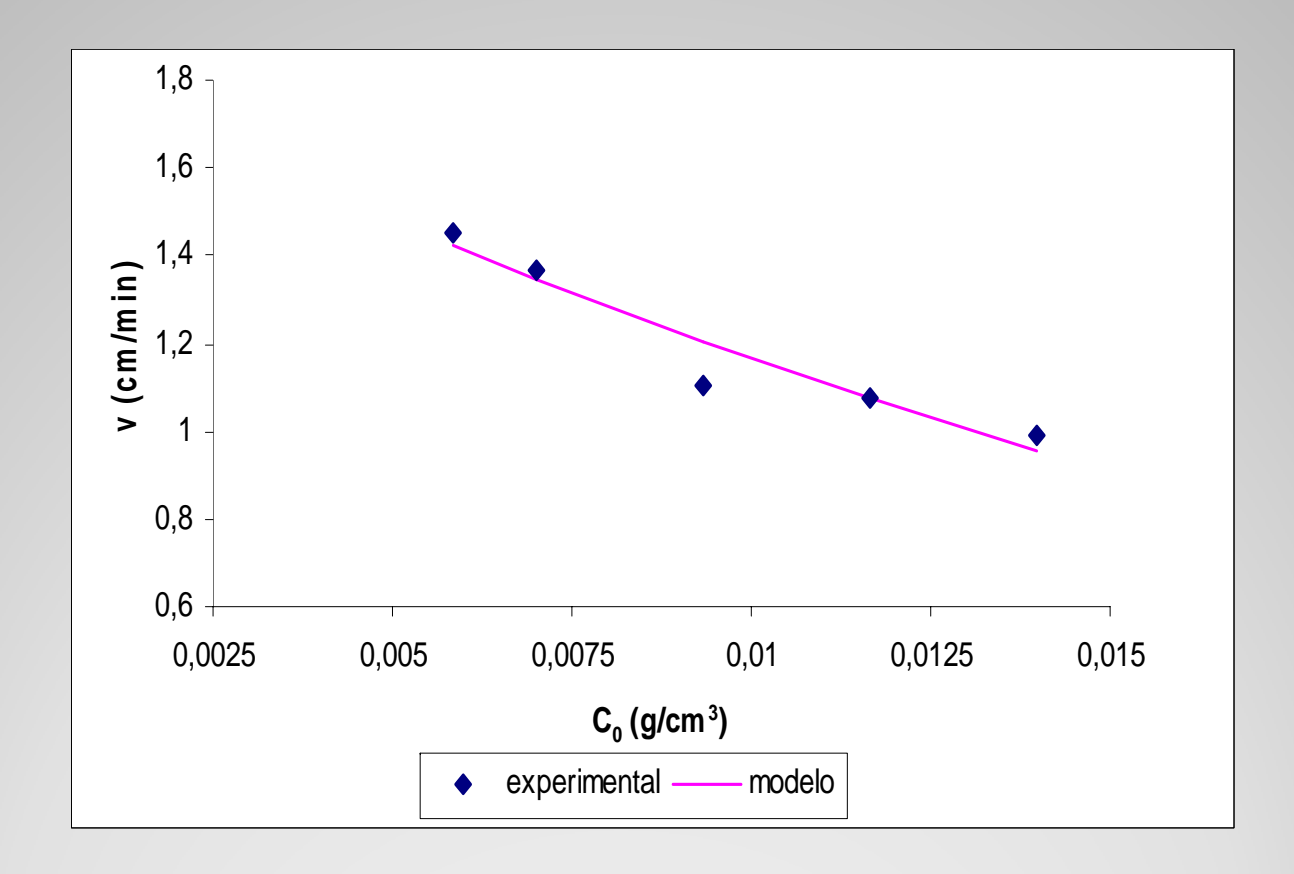
# Cálculo da velocidade de sedimentação e grau de floculação





ESTIMA (Pinto et al., 1993)

# <u>Cálculo da velocidade de sedimentação</u> <u>e grau de floculação</u>



Valores obtidos:  $v_{t\infty} = 1.86$ cm/min e k = 9.58

# <u>Determinação experimental do diâmetro</u> <u>médio do floco</u>

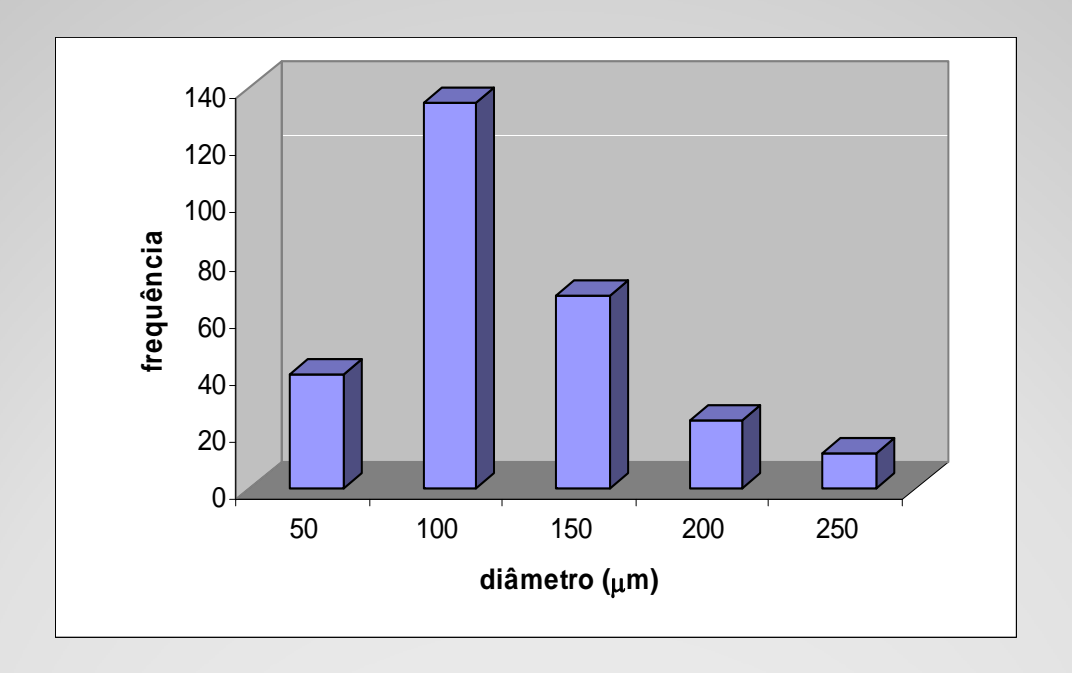
- Microscopia Óptica com ampliação de 400 vezes;
- Aproximadamente 300 medidas.





# <u>Determinação experimental do diâmetro</u> <u>médio do floco</u>

Distribuição dos diâmetros experimentais.



Valor médio experimental:  $d_{fl} = 119 \mu m$ 

# Determinação teórica do diâmetro médio do floco – Modelo I

Modelo I – Baseaia-se na velocidade de Stokes.

$$v_{t\infty} = \frac{d_{fl}^2 (\rho_{fl} - \rho_f)g}{18\mu}$$

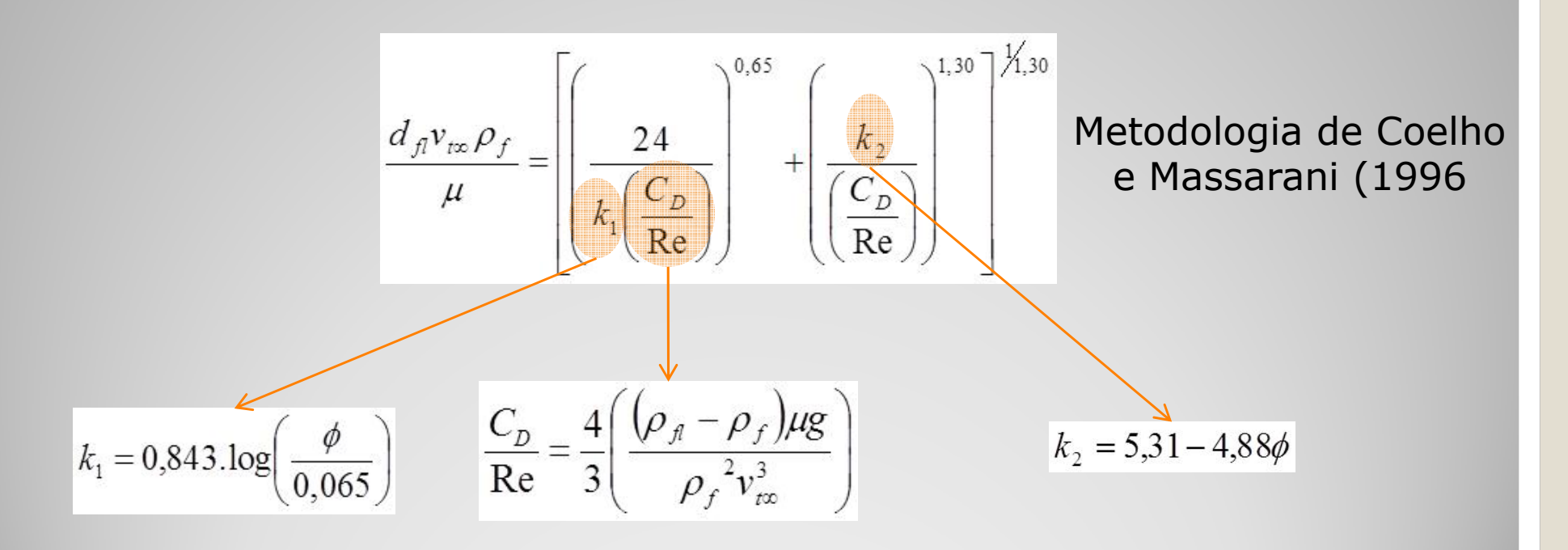
Determinado através do estimador de parâmetros.

Determinador pelo método de Bailey e Ollis

Valor médio teórico I:  $d_{fl} = 117 \mu m$ 

# <u>Determinação teórica do diâmetro médio</u> <u>do floco – Modelo II</u>

Modelo II – baseia-se na esfericidade φ.



# <u>Determinação teórica do diâmetro médio</u> <u>do floco – Modelo II</u>

 O cálculo da esfericidade → Mohsenin (1970), que determinou o grau de esfericidade de um elipsóide através da Equação abaixo.

$$\phi = \frac{\sqrt[3]{abc}}{a}$$

$$k_1 = 0.843.\log\left(\frac{\phi}{0.065}\right)$$

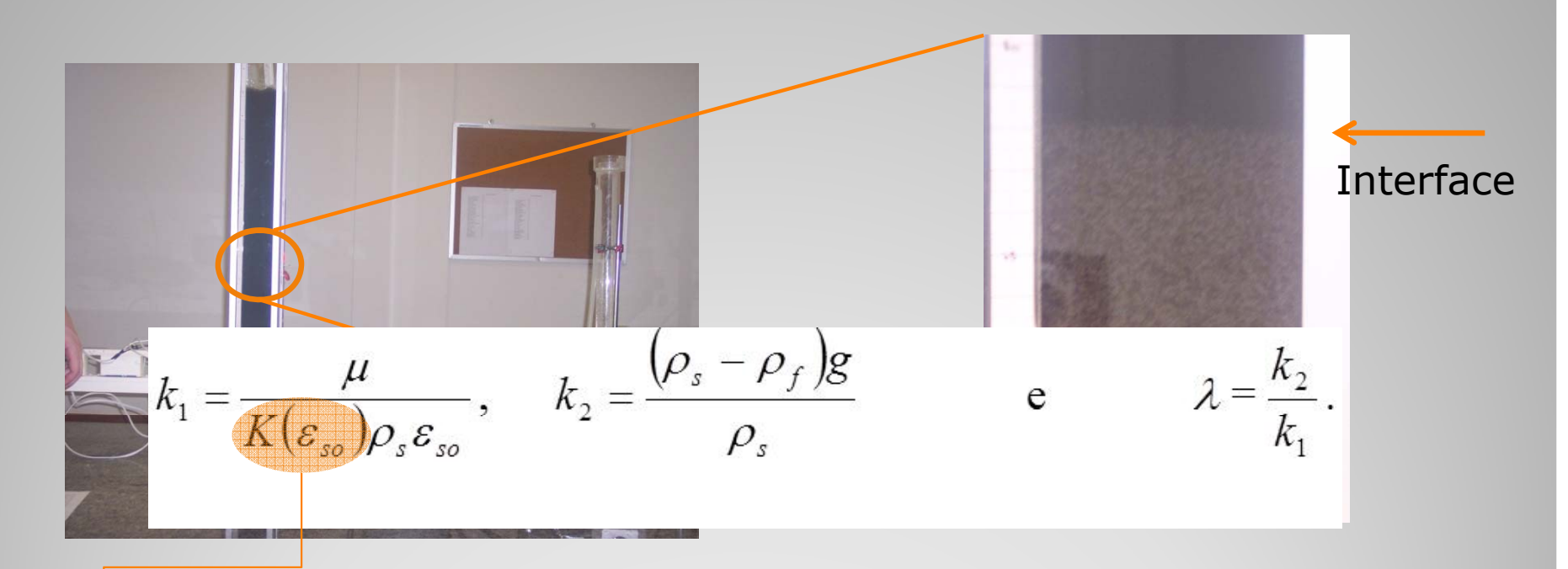
$$k_2 = 5,31 - 4,88\phi$$

onde a, b e c são os diâmetros dos três eixos de um elipsóide.

 $\phi = 0.76$ ; Valor médio teórico II:  $d_{fl} = 122 \mu m$ 

# Teste de Sedimentação em batelada

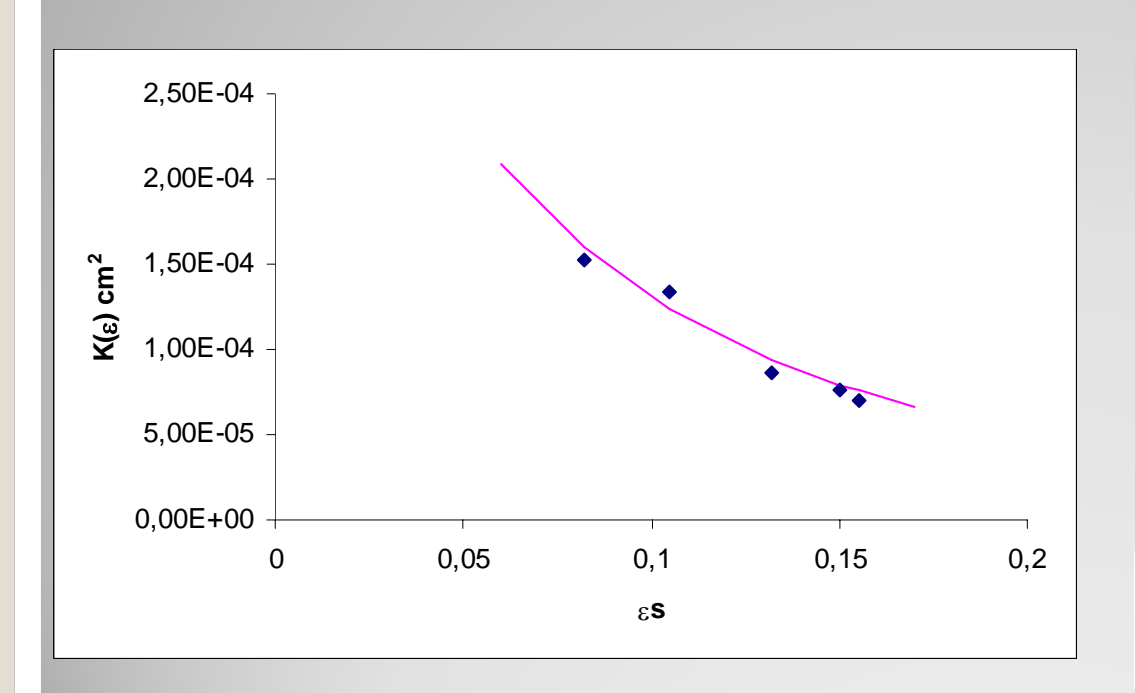
• Expressão de variação da altura da interface com o tempo.



Permeabilidade 
$$h = h_o - \lambda \left( t - \frac{1 - e^{-k_1 t}}{k_1} \right)$$

## Teste de Sedimentação em batelada

O ajuste da permeabilidade com a porosidade foi feito através da equação de Kozeny-Carman:



$$K(\varepsilon_s) = (\alpha + \gamma \varepsilon_s) \cdot \frac{(1 - \varepsilon_s)^3}{\varepsilon_s^2}$$



$$K(\varepsilon_s) = \left(-4,29.10^{-7} + 2,22.10^{-5} \varepsilon_s\right) \cdot \frac{\left(1 - \varepsilon_s\right)^3}{\varepsilon_s^2}$$



Sedimentador Dorr Oliver:

 $A = 0.05 \text{m}^2$ ;  $h_{\text{sedimentador}} = 1.7 \text{m e Q} = 10 \text{cm}^3.\text{s}^{-1}$ 



Floculação

### Transbordo - Efluente Clarificado







Amostradores ao longo do sedimentador (espaçados em 15 cm)

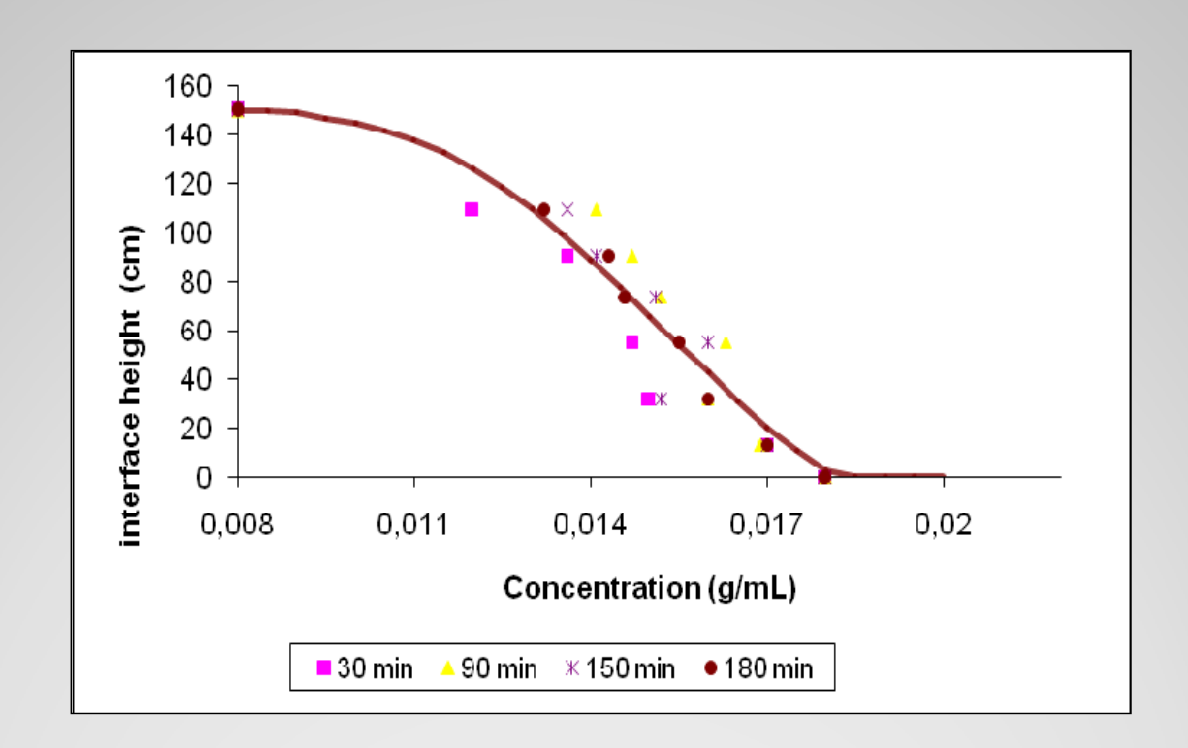




Fundo do sedimentador – remoção do Lodo

# Sedimentação contínua após regime estabelecido

• Estabilização do sistema (interface) após 3h de operação.



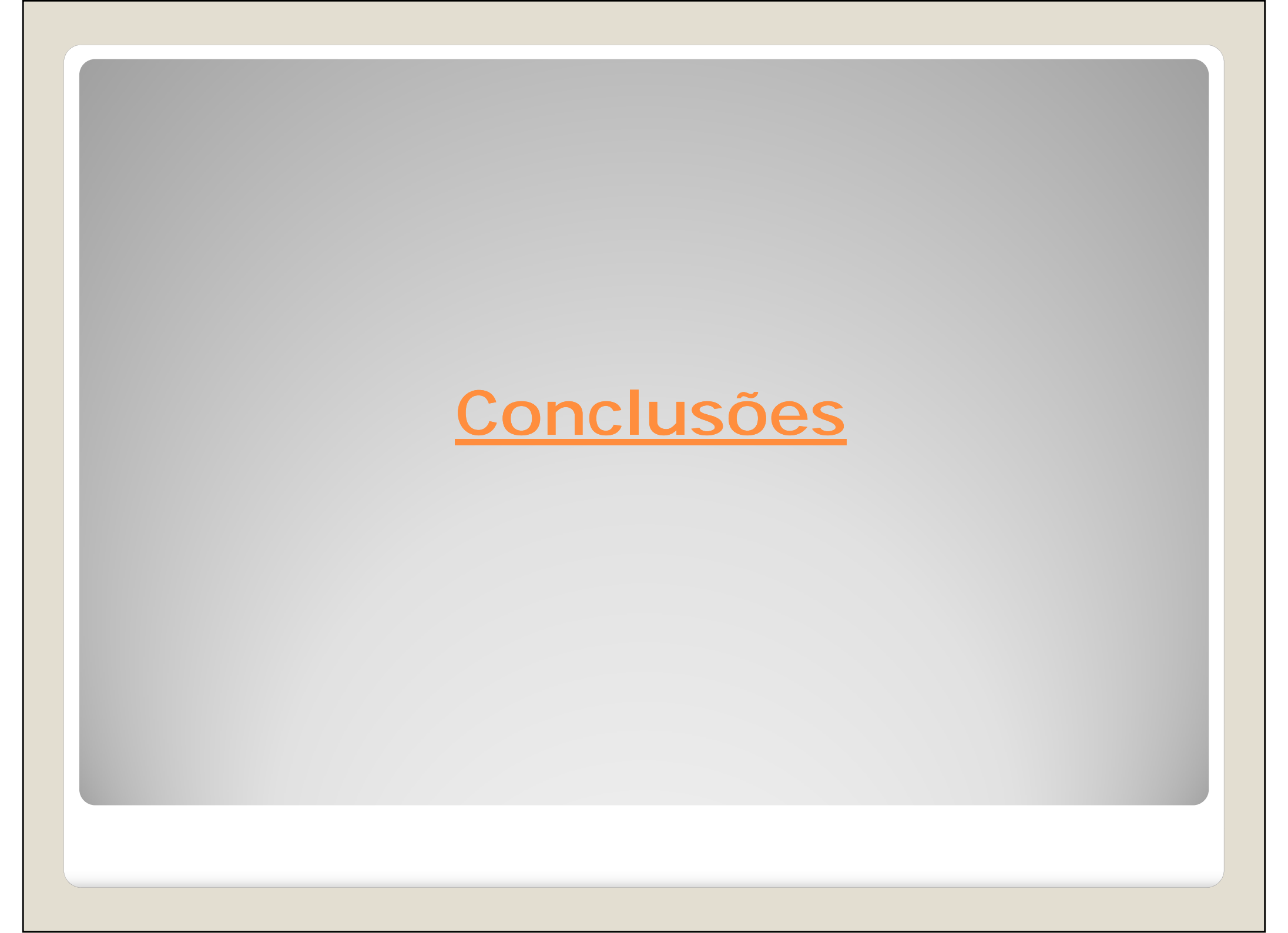
# Filtro de carvão ativo

Passagem do líquido clarificado por uma coluna contendo carvão

ativado.



	Chorume fresco	Clarificado filtrado
Ca (µg/mL)	54,4675	32,2075
Mg (µg/mL)	8,6965	9,1940
Fe (µg/mL)	12,8140	0,1725
Zn (µg/mL)	0,5625	0,4625
Cu (µg/mL)	0,2025	0,1040
Mn (µg/mL)	2,4310	2,1905



# **CONCLUSÕES**

- □ O sulfato de alumínio mostrou-se mais eficiente como coagulente que os demais testados;
- Os flocos gerados neste tratamento podem ser modelados utilizando as técnicas propostas, e os resultados são validados pelos experimentos realizados;
- ☐ Estudos em sedimentação de alta eficiência embasados em quaisquer dos dois modelos propostos são possíveis;
- Os resultados preliminares da filtração com carvão ativado mostrou-se satisfatórios quando a redução da concentração de metais, assim como, redução da cor.

# <u>Agradecimentos</u>

CNPq



AMBITEC (Brasil-Ambiental)



Fundação São João Batista

